

Simulation

畅星兆 11.22

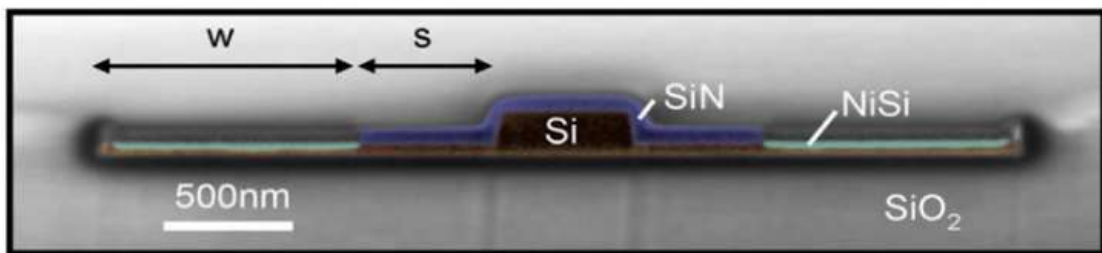
衡量热电调制器的几个参数

Table 1. Summary of recent thermo-optic waveguide phase shifter parameters where L is the total heater length, V_π and P_π are the applied voltage and power necessary to reach π radians of phase shift, respectively, and τ is the limiting rise or fall time constant. In results where τ is not reported, the single-pole approximation $\tau = \frac{0.35}{f_{3dB}}$ is used to convert between metrics.

	Material	Cladding	L (μm)	Loss (dB)	V_π (V)	P_π (mW)	τ (μs)	$P_\pi \cdot \tau$ (mW $\cdot\mu\text{s}$)
Here	SOI	SiO ₂	61.6	0.23 dB	4.36	24.77	2.69	66.9
[10]	Si	Air	>9.42	0.5 dB	11.93	12.7	2.4	30.5
[12]	TiN in SOI	Air	1000	0.3 dB	0.86	0.49	144	70.5
[11]	NiSi in SOI	Air	200	5 dB	1	20	2.8	56
[17]	Cr-Au in SOI	SiO ₂	700	32 dB	1.66	46	3.5	160
[14]	Ti in SOI	Air	100	8 dB	13.3	10.6	34.9	370
[16]	Metal in SOI	SiO ₂	2500	< 12 dB	-	235	60	14100

-- 解释几个参数的意义

Ref 1



文献1

- 描述结构

SOI, (两个变量) $w = 1\text{ }\mu\text{m}$, $s = 0.1\sim 4\text{ }\mu\text{m}$

- 描述材料

- 热源:

NiSi通电

Table 1. Thermal Conductivities Used in Simulations

Material	κ (W m ⁻¹ K ⁻¹)
Si (bulk)	150 [11]
Si (50 nm slab)	50 [11]
NiSi	50
SiO ₂	1.27 [12]
Si ₃ N ₄	2 [12]

slab: lower thermal conductivity due to phonon boundary scattering

论文中的仿真工作

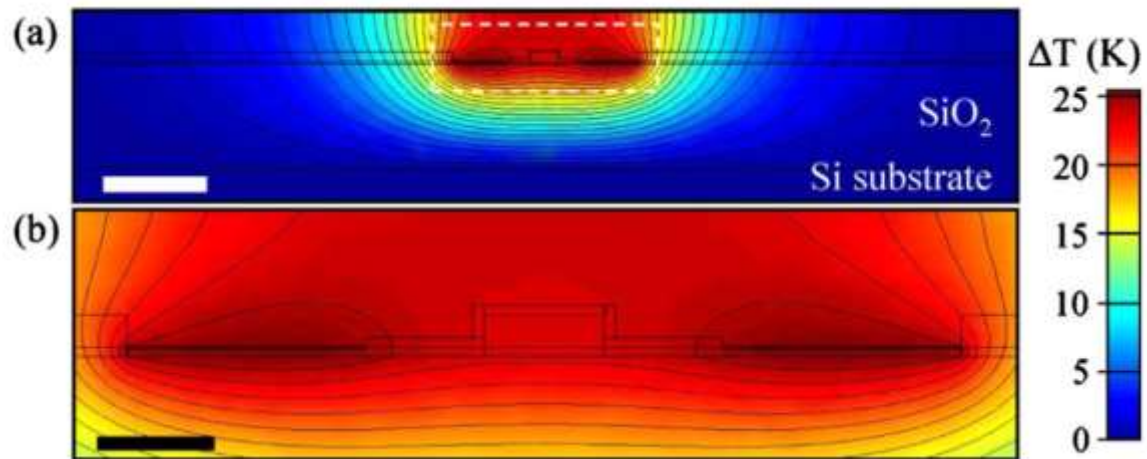


Fig. 4. (Color online) (a) Simulated 2-D distribution of the expected temperature increase (in kelvin) for $0.1 \text{ mW}/\mu\text{m}$ power dissipation. The scale bar is $2 \mu\text{m}$ long. (b) Magnification of (a), showing a temperature increase in the waveguide core of 23 K. The scale bar is 500 nm long.

steady-state 2-D thermal simulation, 设定热源, 边界条件, 初始值, 求稳态解. (只有热学仿真)

热源: 面热源(2D图中为两条线)

$0.1 \text{ mW}/\mu\text{m} \rightarrow 10^8 \text{ W}/\text{m}^2$ (如何推算的)

波导上方 $1 \mu\text{m}$ 空气层

变量: $w = 1 \mu\text{m}$, $s = 0.5 \mu\text{m}$, 空气层厚度: $1 \mu\text{m}$

结果: $\text{dt}(\text{waveguide}) \sim 23\text{K}$

问题:

1. 功率的转换

$$0.1mW/\mu m \rightarrow 5 \times 10^7 W/m^2$$

2. 边界条件的确定

3. 结构不确定

4. 仿真区域大小

3类边界条件:

1. 第一类边界条件 规定了边界上的温度值

2. 第二类边界条件 规定了边界上的热流密度值

3. 第三类边界条件 规定了边界条件上表面传热系数以及外界温度

初始仿真

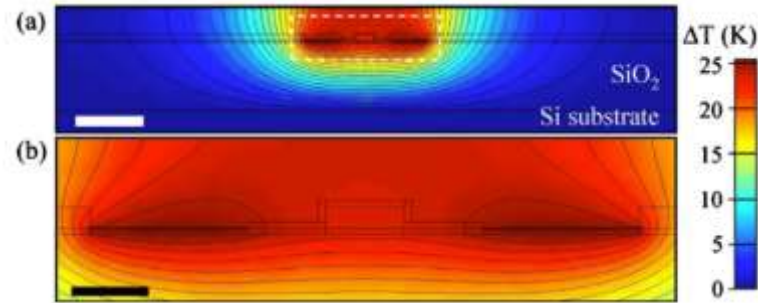
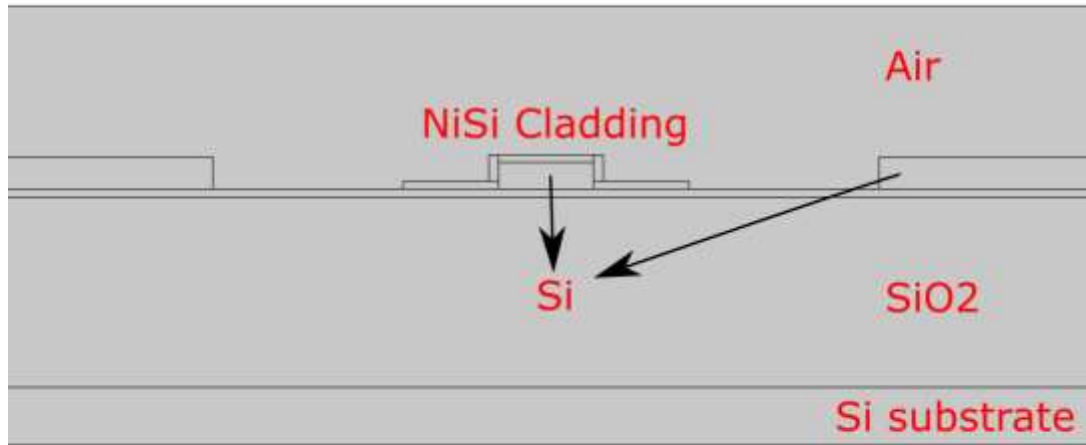
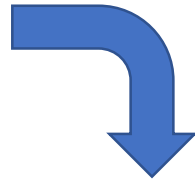


Fig. 4. (Color online) (a) Simulated 2-D distribution of the expected temperature increase (in kelvin) for 0.1 mW/ μ m power dissipation. The scale bar is 2 μ m long. (b) Magnification of (a), showing a temperature increase in the waveguide core of 23 K. The scale bar is 500 nm long.



仿真结构图

仿真区域: [μ m] 20 x 2.3 (w, h)

详述各个区域

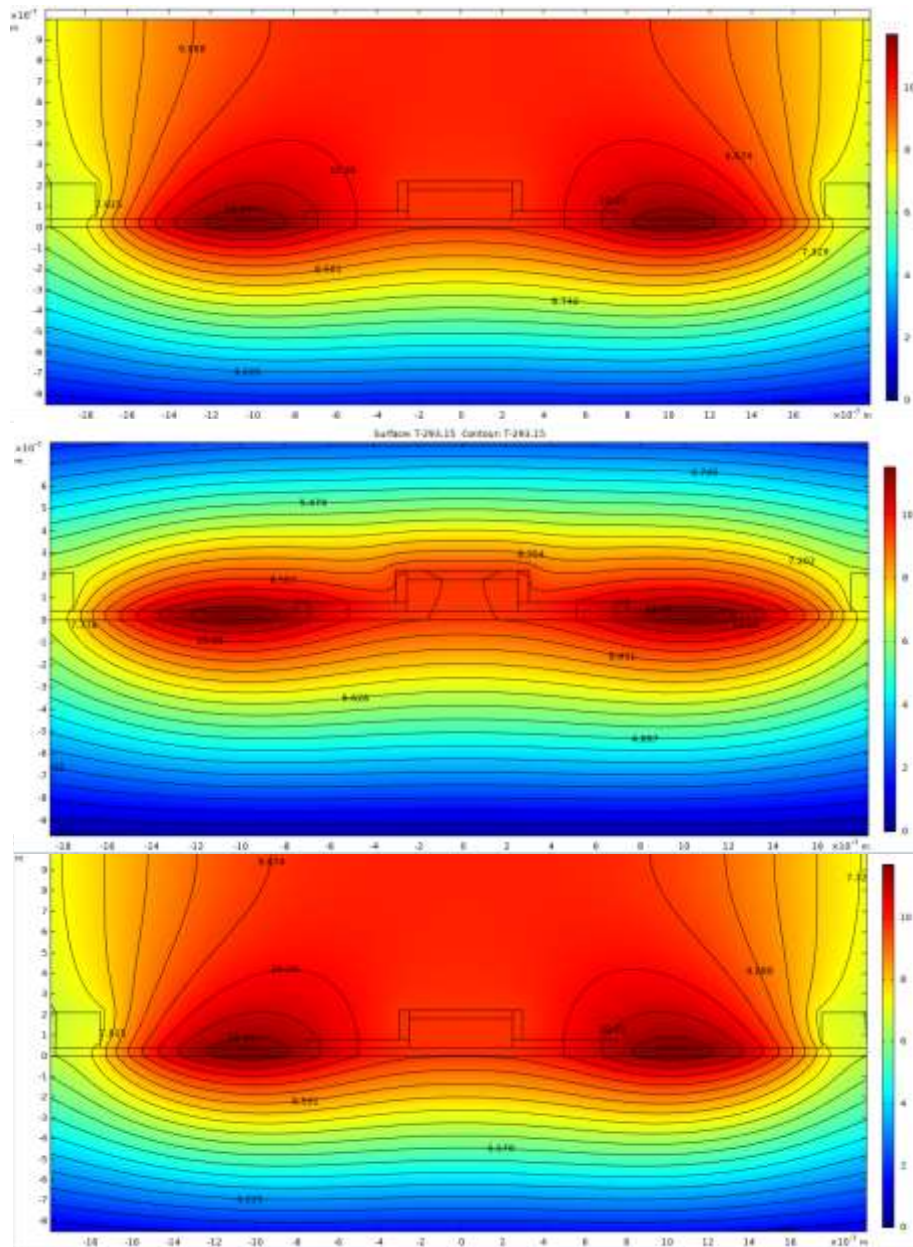
NiSi Cladding: 0.05 μ m

Si: 0.17 μ m

SiO₂: 2 μ m (最开始用1 μ m算的)

Si substrate: 0.5 μ m(最开始用0.25 μ m算的)

Buried Oxide Layer(SiO2) 减半时(错的)



左右下边界: $T = 293.15 \text{ K}$

上边界: heat flux 热交换, $T = 293.15 \text{ K}$,
 $h = 25 \text{ W}/(\text{m}^2 \cdot \text{K})$

温度(波导中心): 302.87 K, $d = 9.72 \text{ K}$

所有边界: $T = 293.15 \text{ K}$

温度(波导中心): 302.65 K, $d = 9.50 \text{ K}$

左右下边界: $T = 293.15 \text{ K}$

上边界: heat flux 热交换, $T = 293.15 \text{ K}$,
 $h = 5 \text{ W}/(\text{m}^2 \cdot \text{K})$

温度(波导中心): 302.87 K, $d = 9.72 \text{ K}$

对流换热系数

单位: $W/(m^2 \cdot K)$ 单位温差时的单位面积上的热通量

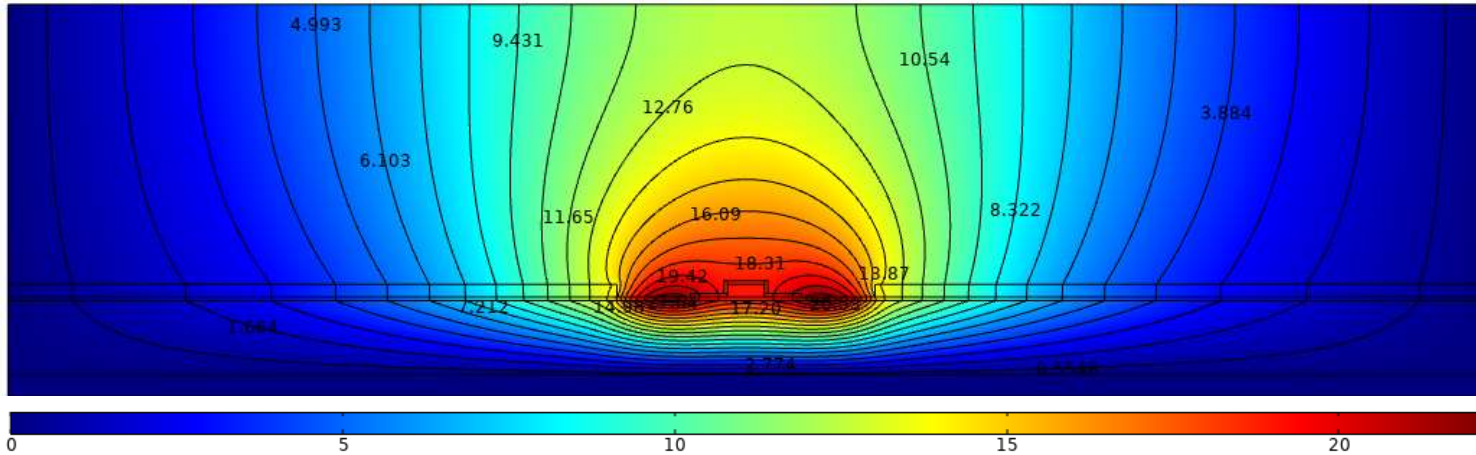
影响因素:

1. 对流运动成因和流动状态
2. 流体的物理性质(随种类、温度和压力而变化)
3. 传热表面的形状, 尺寸和相对位置
4. 流体有无相变(如气态与液态之间的转化)

对流换热系数的大致量级:

空气自然对流: 5 – 25	气体强制对流 20 ~ 300	水的自然对流 200 ~ 1000
水的强制对流 1000 ~ 15000	油类的强制对流 50 ~ 1500	水蒸气的冷凝 5000 ~ 15000
有机蒸汽的冷凝 500 ~ 2000	水的沸腾 2500 ~ 25000	

当时排查原因, 还改变空气层厚度..

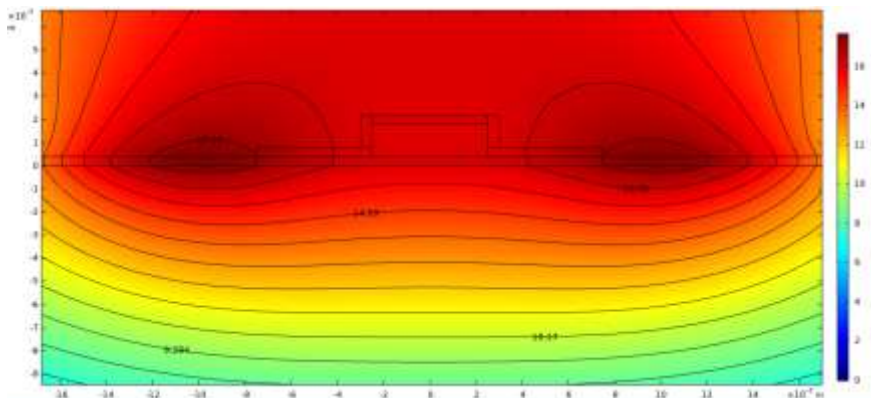


之后, 将空气层厚度从 $1\mu\text{m}$ 变为 $4\mu\text{m}$
边界条件相比上一个不变

左右下边界: temperature = initial value

上边界: heat flux 热交换, 假定边界外为初始温度的空气

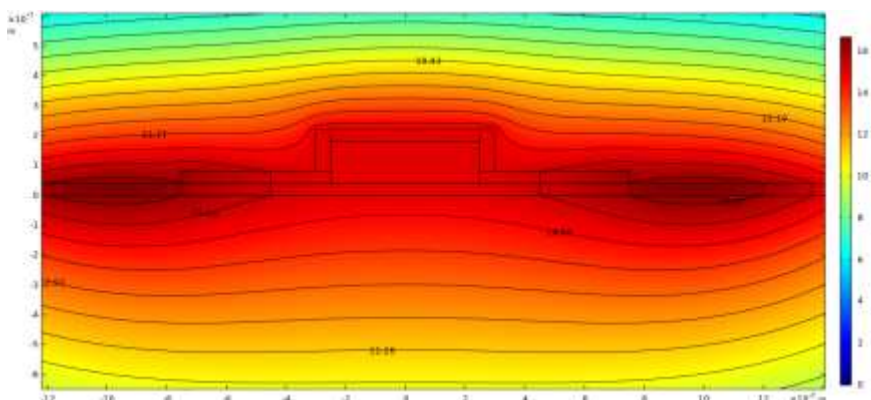
初始仿真结果(空气层厚度1 μm)



左右下边界: $T = 293.15 \text{ K}$

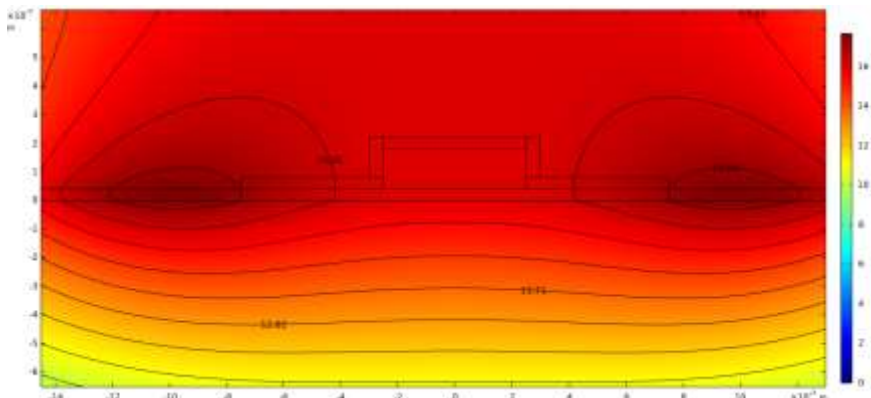
上边界: heat flux 热交换, $T = 293.15 \text{ K}$,
 $h = 25 \text{ W}/(\text{m}^2 \cdot \text{K})$

温度(波导中心): 309.21 K, $d = 16.06 \text{ K}$



所有边界: $T = 293.15 \text{ K}$

温度(波导中心): 308.23 K, $d = 15.08 \text{ K}$



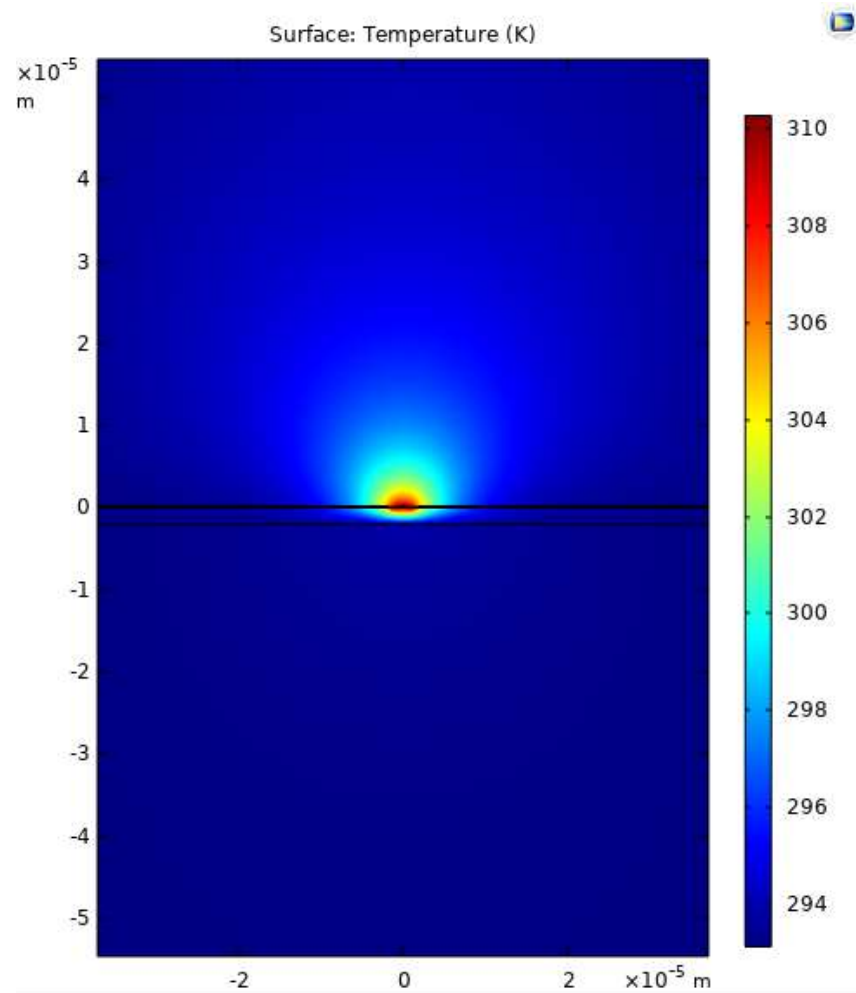
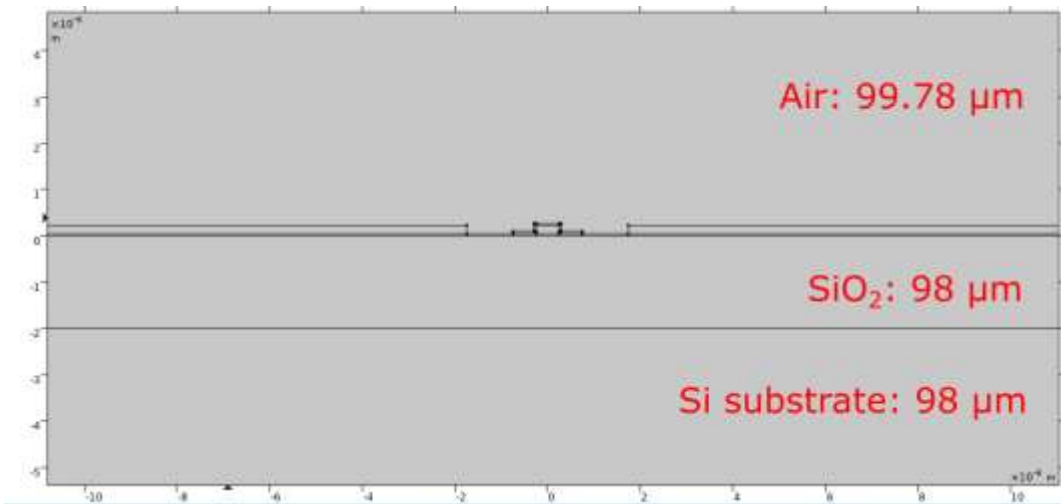
左右下边界: $T = 293.15 \text{ K}$

上边界: heat flux 热交换, $T = 293.15 \text{ K}$,
 $h = 5 \text{ W}/(\text{m}^2 \cdot \text{K})$

温度(波导中心): 309.21 K, $d = 16.06 \text{ K}$

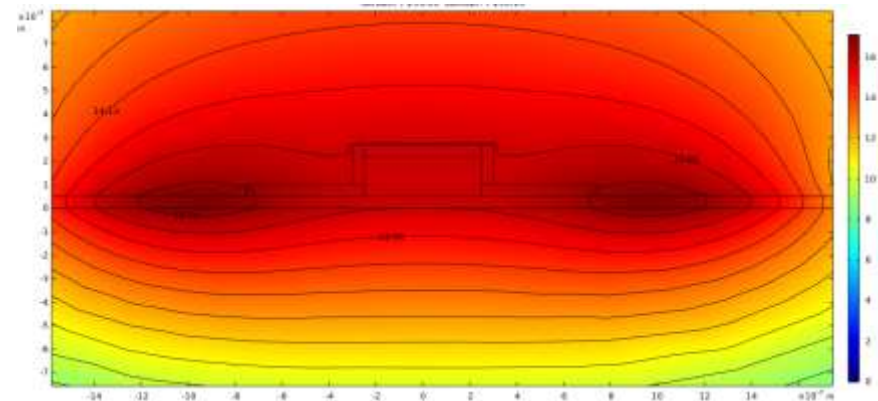
改变结构

1. 仿真区域: [μm] 100 x 200 (w, h)
2. SiO_2 层变为正确厚度(2 μm)



整个区域温度分布

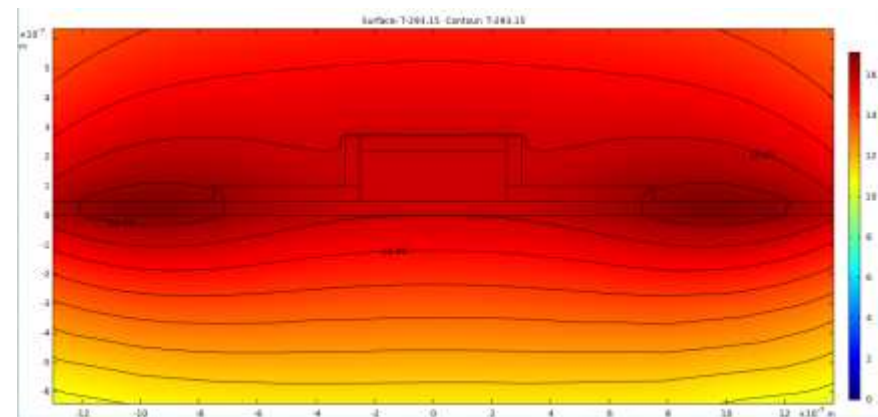
增大仿真区域



左右下边界: $T = 293.15 \text{ K}$

上边界: heat flux 热交换, $T = 293.15 \text{ K}$,
 $h = 25 \text{ W}/(\text{m}^2 \cdot \text{K})$

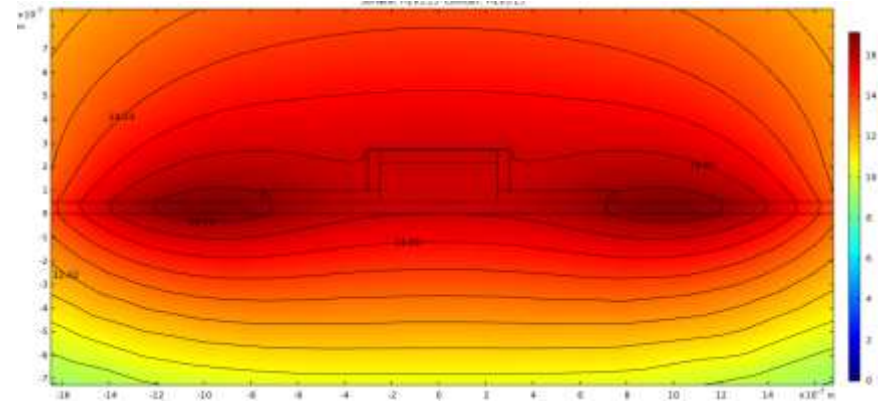
温度(波导中心): 309.01 K , $d = 15.86 \text{ K}$



所有边界: $T = 293.15 \text{ K}$

温度(波导中心): 309.01 K , $d = 15.86 \text{ K}$

此时改变上边界条件基本不影响仿真结果.

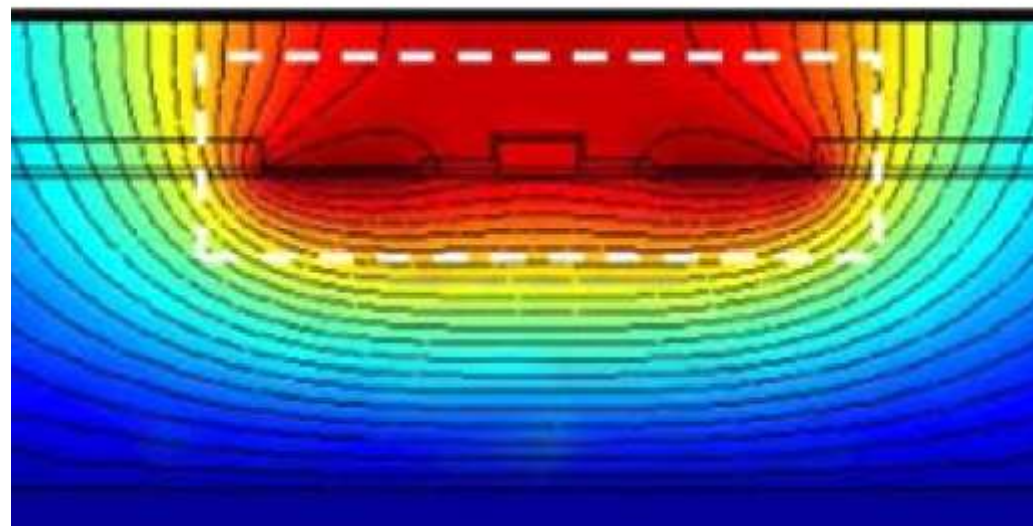
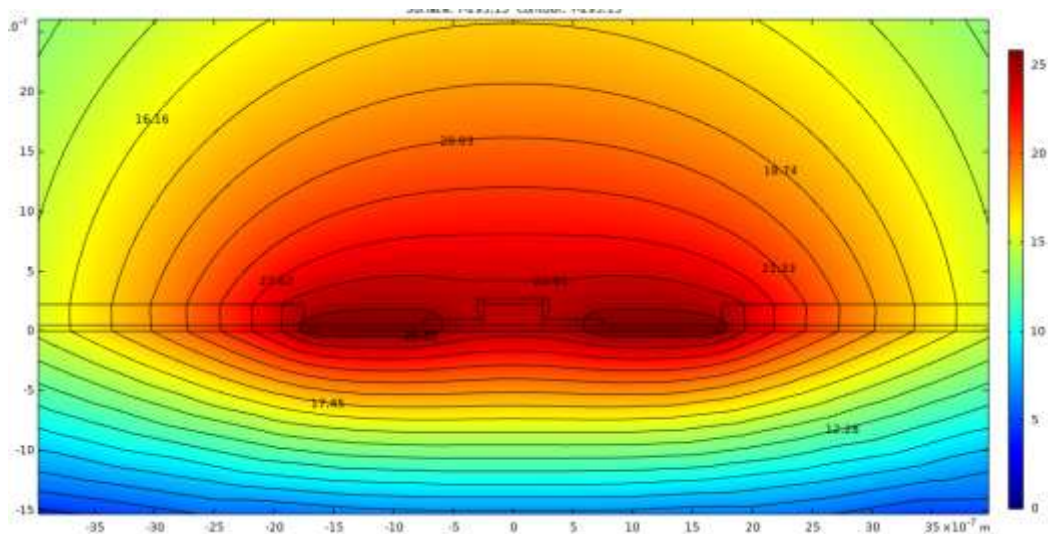


左右下边界: $T = 293.15 \text{ K}$

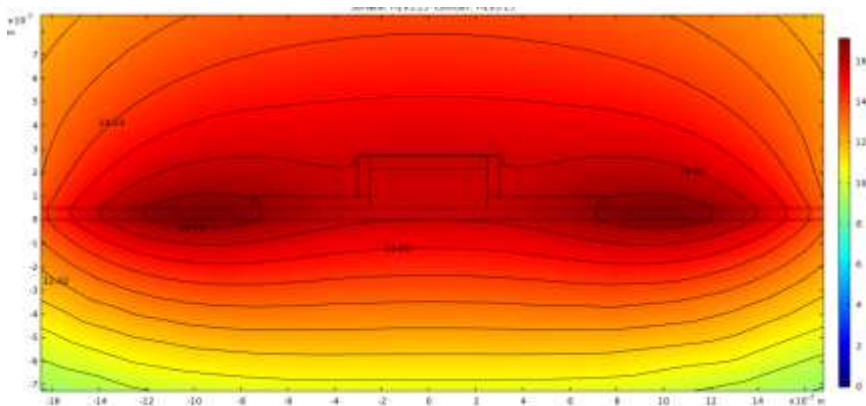
上边界: heat flux 热交换, $T = 293.15 \text{ K}$,
 $h = 5 \text{ W}/(\text{m}^2 \cdot \text{K})$

温度(波导中心): 309.01 K , $d = 15.86 \text{ K}$

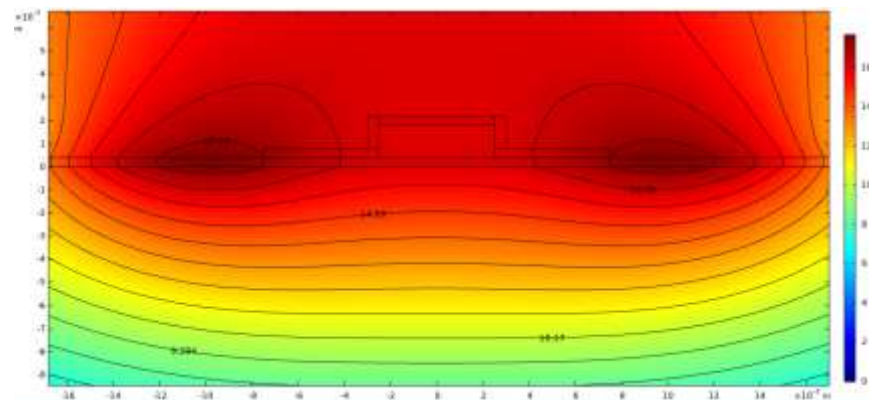
疑问



论文中等温线

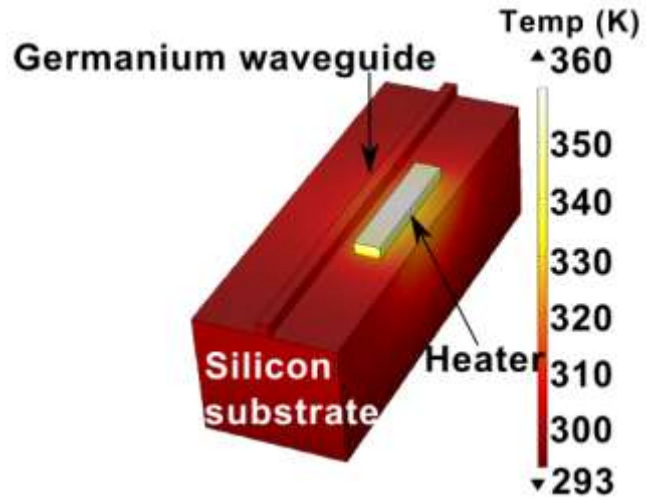


上页中等温线与论文中“大相径庭”

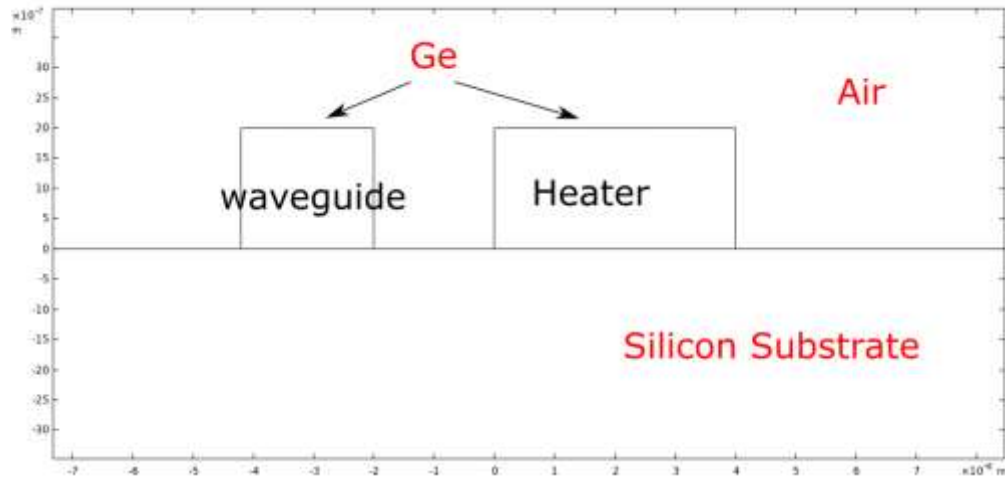


与之相似的仿真(有超链接), 条件:
厚度: $1\mu\text{m}$, heat flux

Ref2



结构



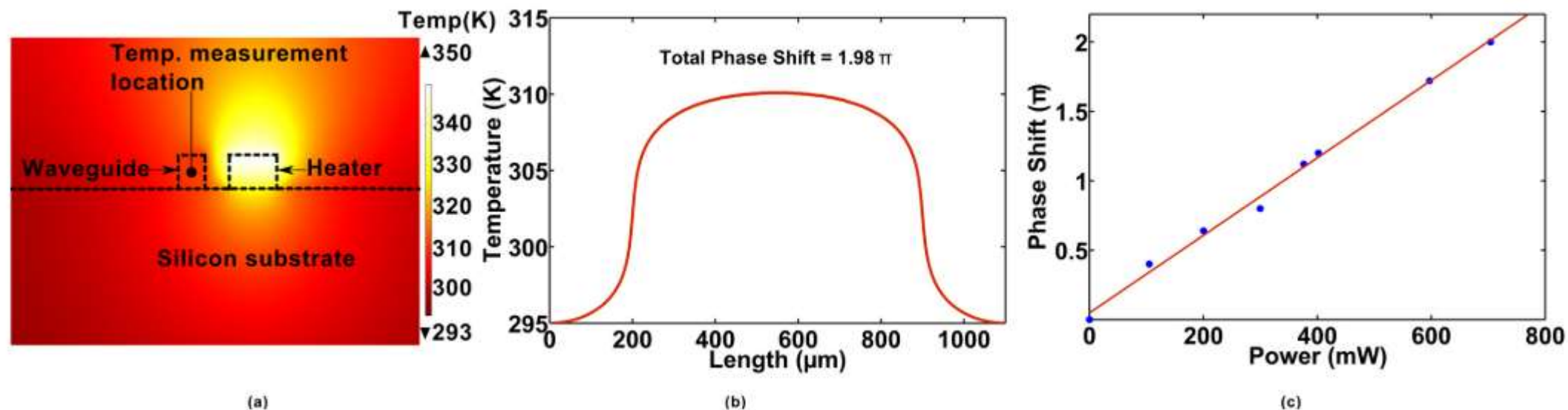
单边加热

波导:[μm] 2.2 x 2 x 1100

heater: :[μm] 4 x 2 x 700

功率: 700 mW

论文中的仿真



1. 三维仿真
2. 波导中心直线上温度分布
3. 由2求得相位变化

Initial

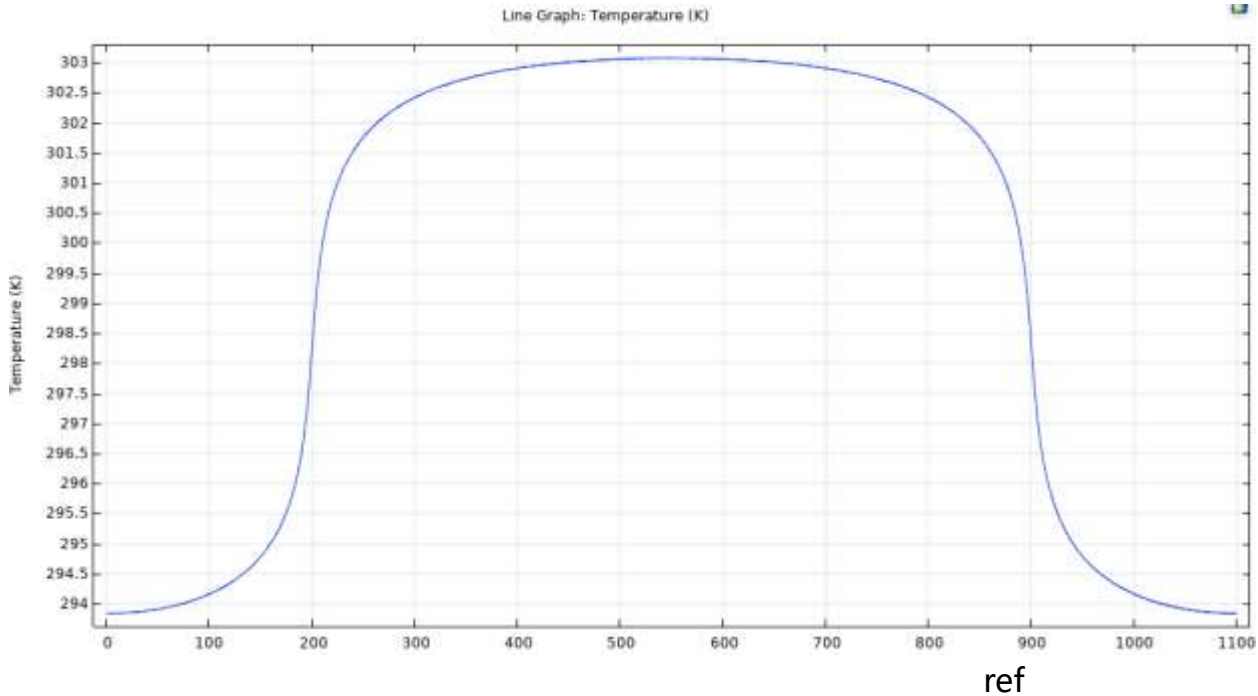
Material Property

	Thermal Conductivity (W/m*K)	Density (kg/m3)	Heat capacity (J/kg*K)
silicon	130	2330	711
air	built-in material		
germanium	58	5323	310

Boundary Condition

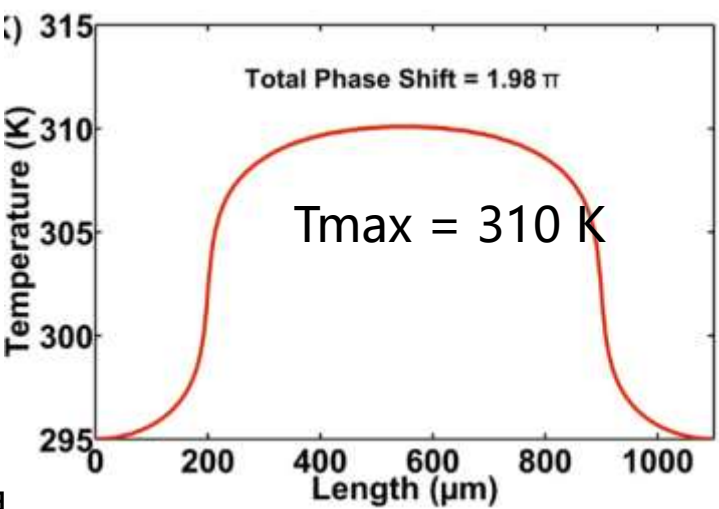
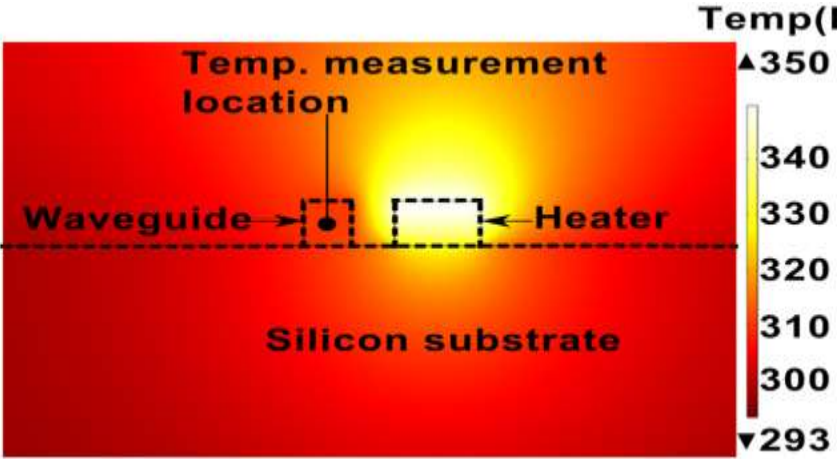
	Boundary Condition
上	Convective heat flux, $h=10\text{ W}/(\text{m}^2\cdot\text{K})$
下	fixed temperature, $T=\text{initial value}$
波导方向	Convective heat flux, $h=10\text{ W}/(\text{m}^2\cdot\text{K})$
其余两个方向	Convective heat flux, $h=10\text{ W}/(\text{m}^2\cdot\text{K})$

Results



最高温度在303K左右

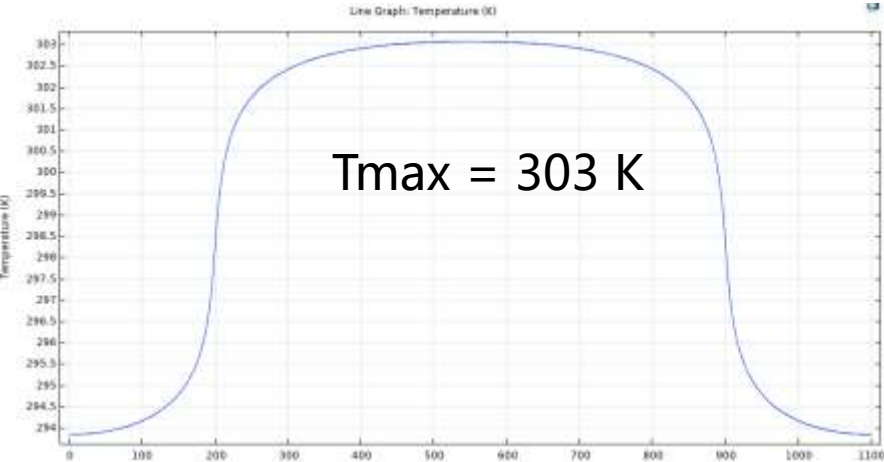
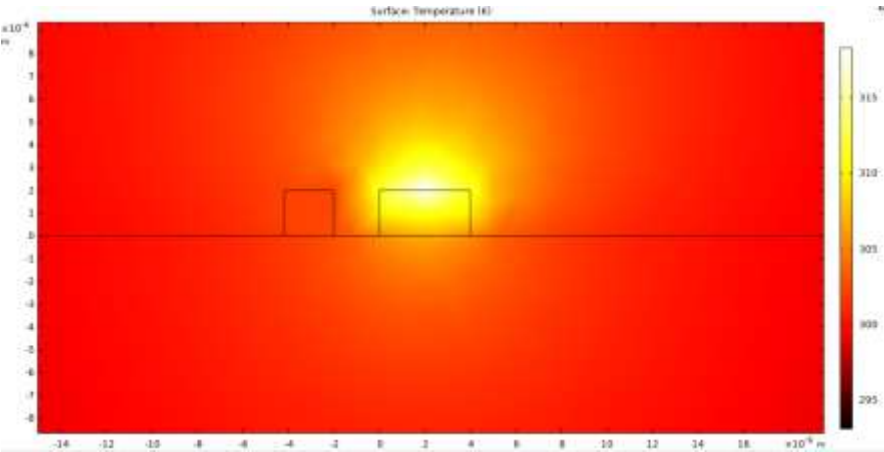
结果对比



左侧两图, 等温线形状不对. 且heater内部最高温度(350 K)要比我的结果(319K)高的多.

问题:

论文结果



我的结果

论文中结果不匹配

原因分析:

1. 可能论文中使用的是线状热源

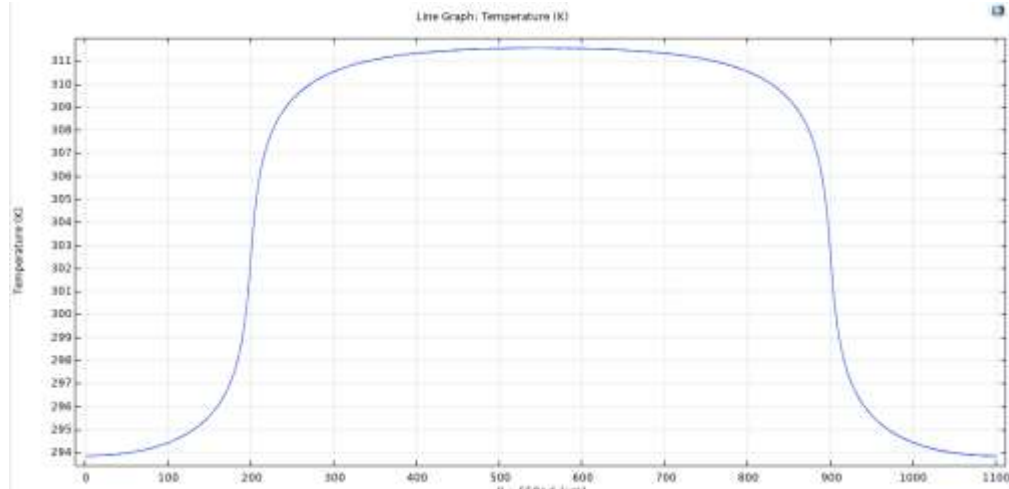
两图等温线形状无法匹配(圆 椭圆)

2. 边界条件错误

3. 有无可能是线段不够密集

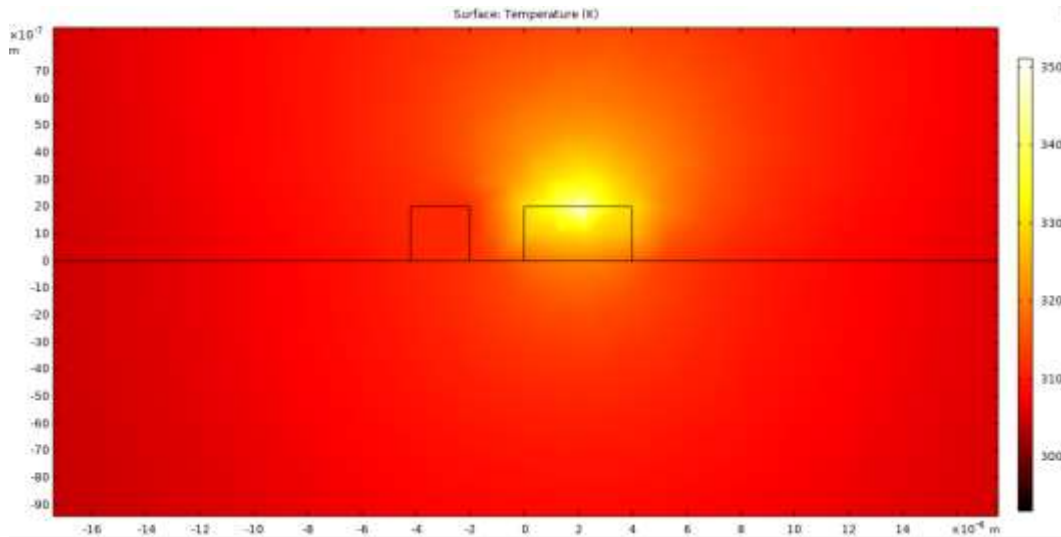
等温线不圆 为可见的折线段

变为线状热源



$$T_{\max} = 311.59 \text{ K}$$

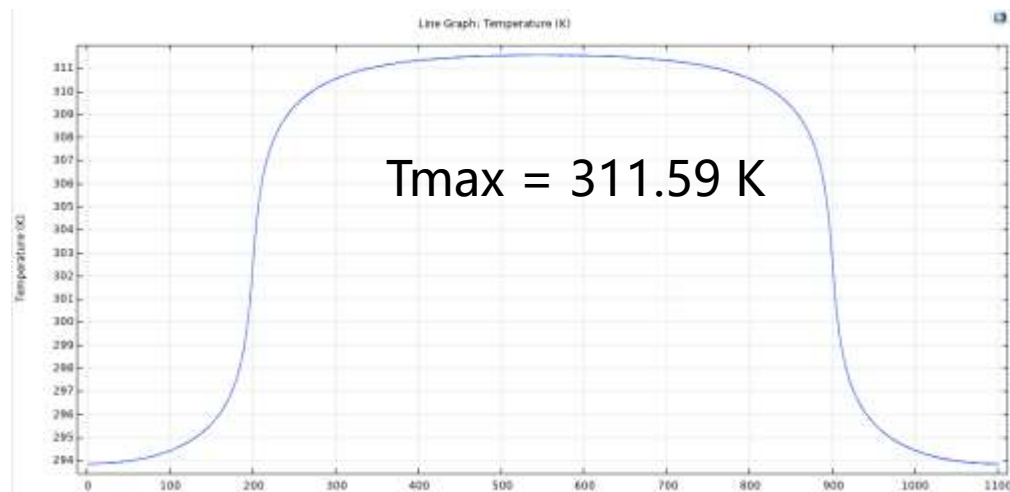
$$\text{光程差} = 6.8427 = 2.178 \text{ pi}$$



论文中:

$$\text{光程差} = 1.98 \text{ pi}$$

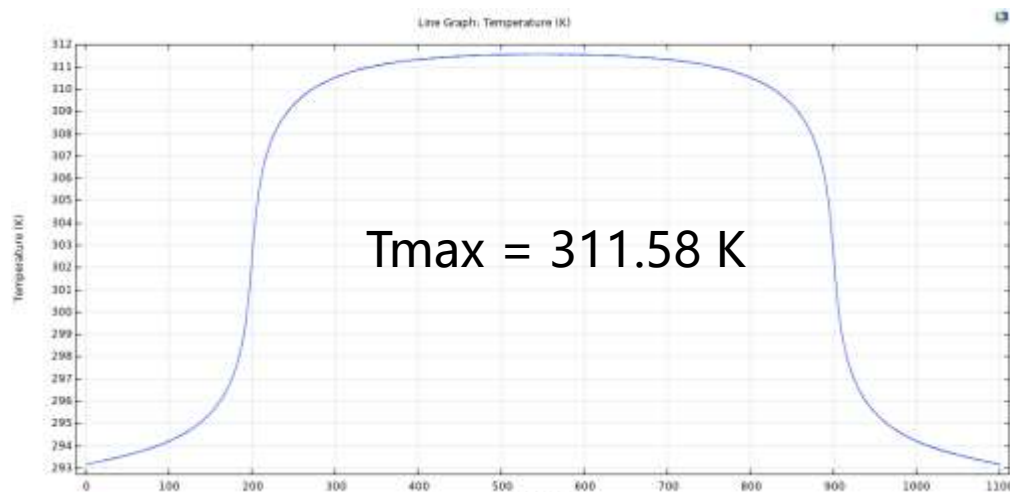
改变边界条件



上下左右边界: $T = 293.15 \text{ K}$

波导方向边界: heat flux, $T = 293.15 \text{ K}$,
 $h = 10 \text{ W}/(\text{m}^2 \cdot \text{K})$

光程差 = 2.17 π



所有边界: $T = 293.15 \text{ K}$

光程差 = 2.15 π

heat tranfer conefficients

heat transfer per unit area and per degree temperature difference

are based on:

phase of streams velocity of stream design of heat exchanger

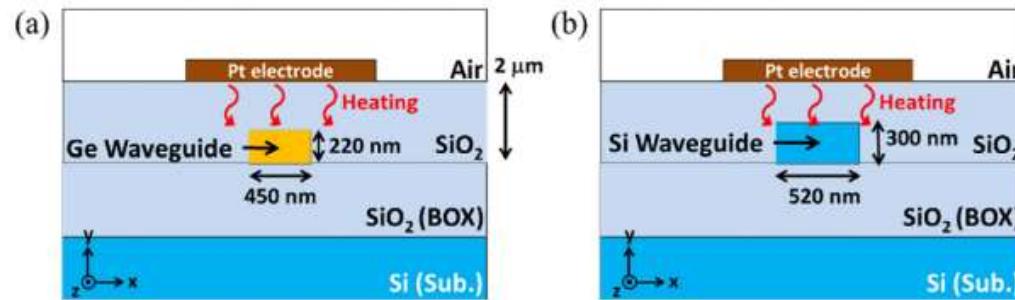
silico dioxide thermal conductivity = 1.4 W/(m*K)

Table 3. Thermal and Electromagnetic Properties of Materials Used in FEM Simulations							
Material	Thickness	Density	Specific heat	Thermal conductivity	Electrical conductivity	$n_{\lambda = 1550 \text{ nm}}$	$K_{\lambda = 1550 \text{ nm}}$
	[μm]	[kg/m^3]	[$\text{J}/\text{kg}\cdot\text{K}$]	[$\text{W}/\text{m}\cdot\text{K}$]	[S/m]	-	-
Si (bulk)	$\gg 5$	2330	711	148 [32]	$4.3\text{E}-4$ [28]	-	-
Si (wg)	0.22	2330	711	90 [32]	$4.3\text{E}-4$	3.476	0
Si (slab)	0.09	2330	711	55 [32]	$4.3\text{E}-4$	3.476	0
$\text{N}_{++} \text{Si}^a$	0.09	2330	711	25 [29,38]	$1.0\text{E} + 5$ [33]	3.072 [30]	0.137 [30]
TiN	(withheld)	5240 [34]	598 [36]	28 [34]	$2.3\text{E} + 6$ [35]	-	-
SiO_2	(withheld)	2203	709	1.38	$1\text{E}-11$	1.55	0
air	$\gg 5$	1.177	1006	0.026	$1\text{E}-12$	-	-

^aHighest doping dosage available.

Ref 3

Structure



area:

Fig. 1. Cross-sectional schematics of (a) Ge and (b) Si TO phase shifters operating at a wavelength of 1.95 μm.

Simulation

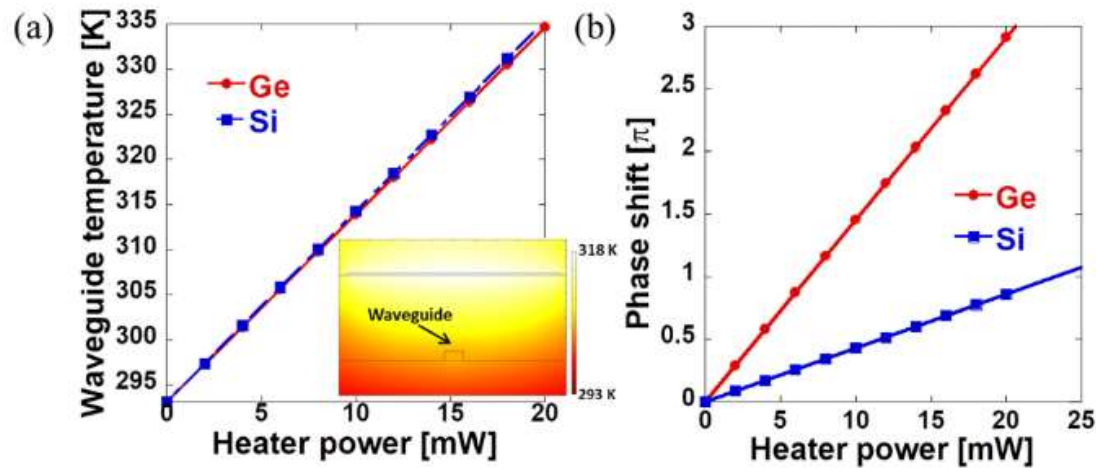
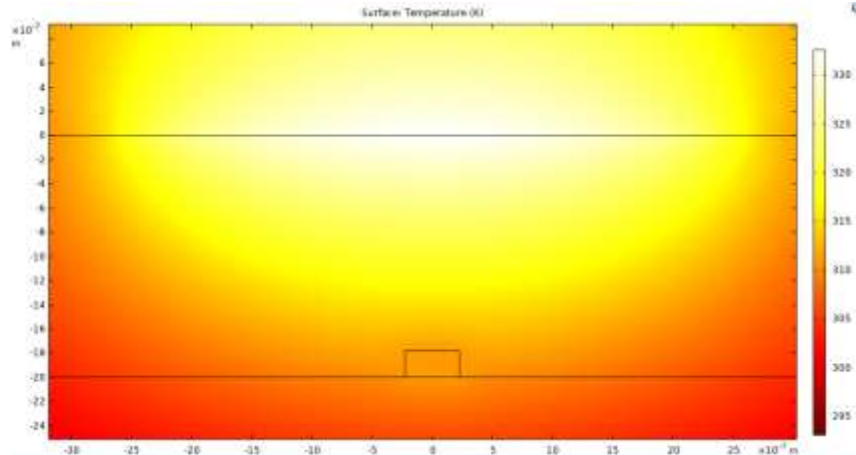


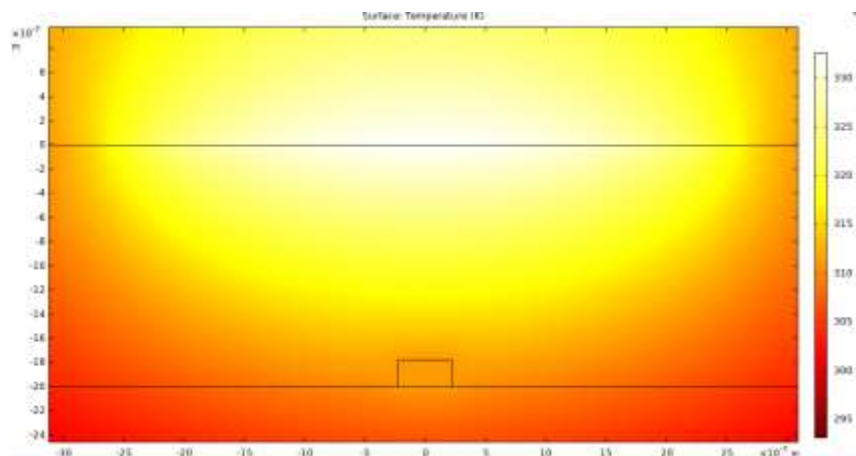
Fig. 2. Simulation results of (a) waveguide temperature and (b) phase shift in Ge and Si TO phase shifters as a function of heater power.



波导中心处温度: [K]
文献中: ~ 314

311.11

initial



311.11

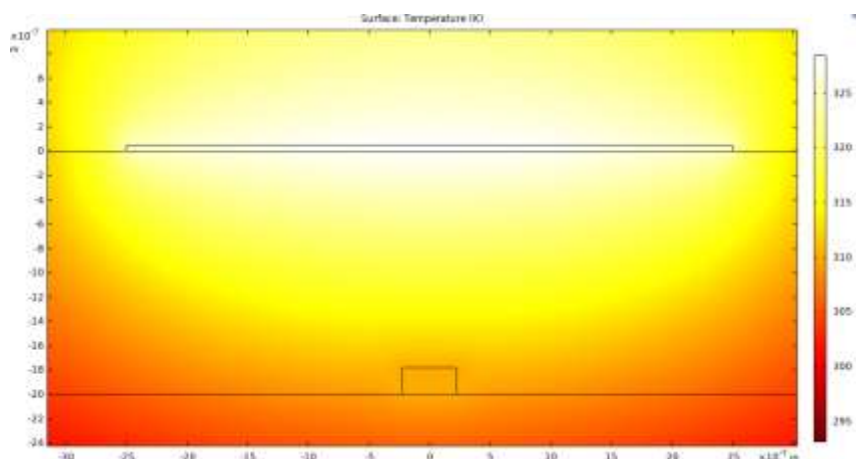
initial-air-fluid

将air设置为流体

结果: 结果完全相同(exactly the same)

结论: 使用流体应设置压强 流速等

不适用与本情况



310.14

initial-pt-added

添加了薄pt层

结果: 轻微变化 (slightly different)

Observation:

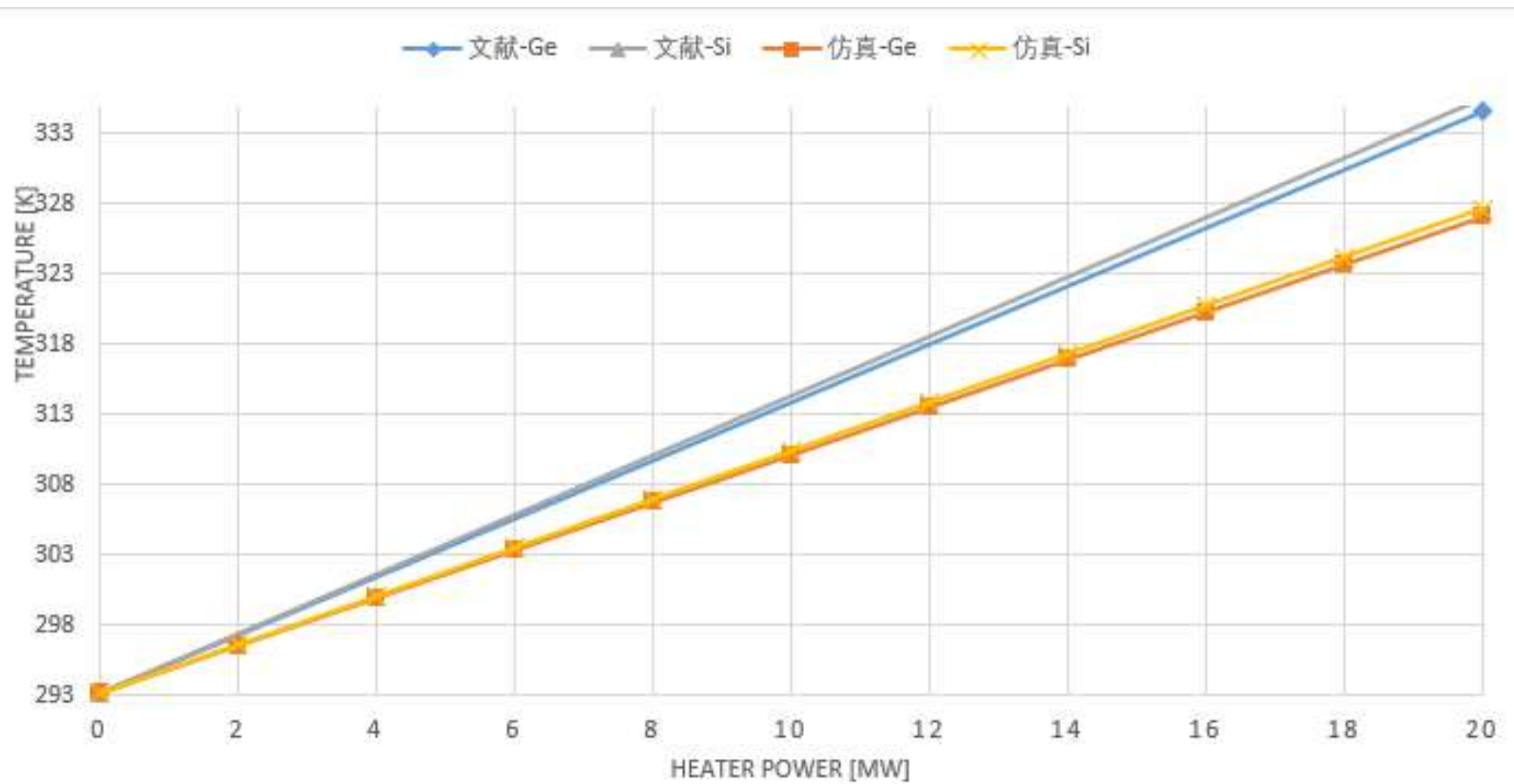
1. steady-state 与电学联系

1. 形成平衡需要热源(source)和热井(sink), 热井可以是边界条件确定的 – 可以类比为高电势和低电势
2. 热的传导: 热源和各个热井之间的材料形成热阻, 类比电阻
3. 稳态解温度分布由热阻分布决定 – 电势分布由电阻决定

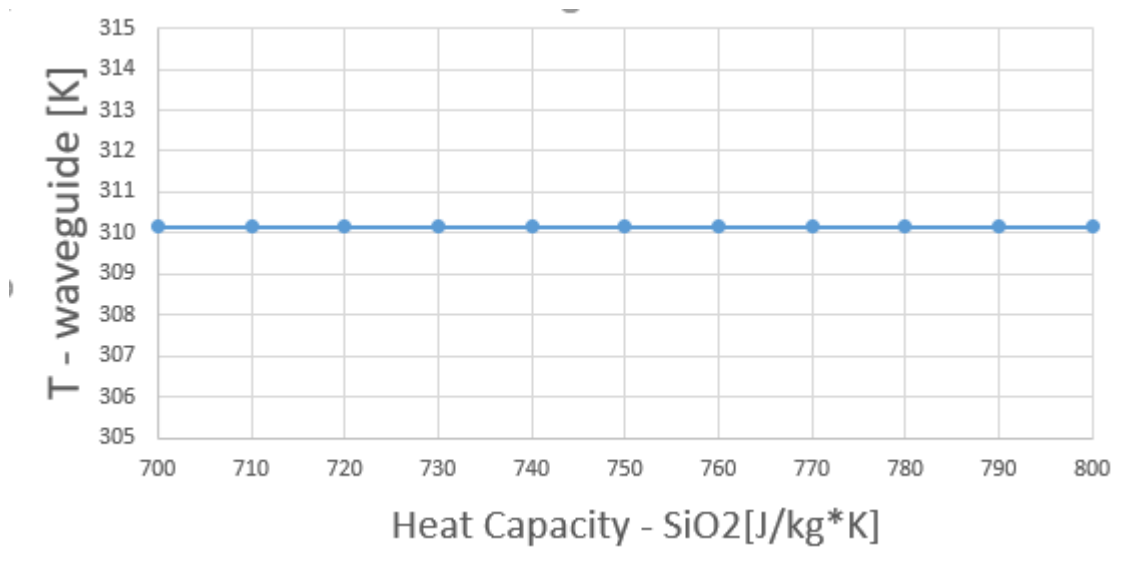
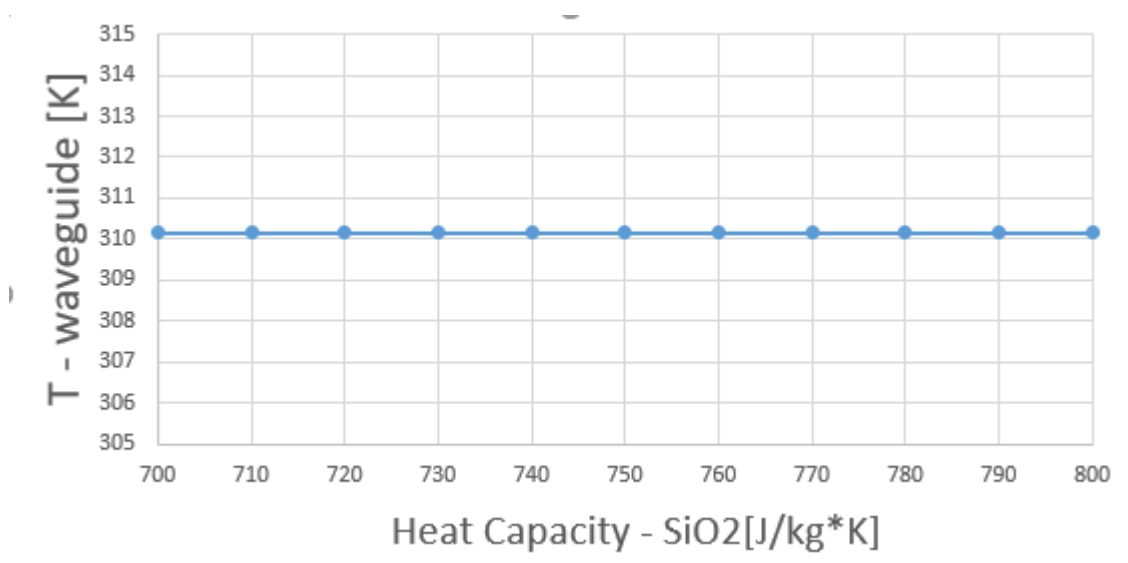
2. 稳态解的分布只与物体的导热系数(thermal conductivity)有关, 而与物体的比热容(specific heat)和密度(density)无关.

-- 解释上页中添加Pt层后温度变化

仿真结果

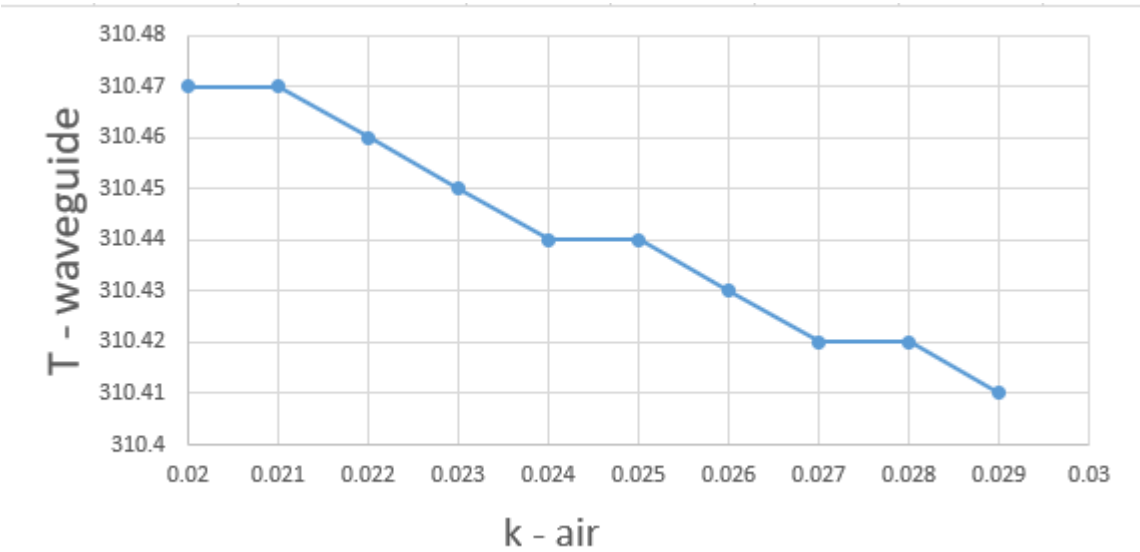


验证: 材料的heat capacity, density不影响steady-state仿真结果



改变空气导热系数的影响

猜想: K 上升, 空气侧热阻减小, 热源产生的热更多的从空气侧流失, 下侧温度降低.



结论: 与猜想相同, 但改变幅度 $< 1\text{ K}$